

## C<sub>59</sub>Nピー・ポッドの紫外光電子スペクトル

(愛媛大院・理工<sup>1</sup>、理論・物理化学研(ギリシャ)<sup>2</sup>、産総研ナノチューブ応用<sup>3</sup>、筑波大院数理物質科学<sup>4</sup>、JSTさきがけ<sup>5</sup>) ○八木創<sup>1</sup>、徳本 頌治<sup>1</sup>、善木 将嗣<sup>1</sup>、財満 壮晋<sup>1</sup>、宮崎 隆文<sup>1</sup>、Nikos Tagmatarchis<sup>2</sup>、飯泉 陽子<sup>3,4</sup>、岡崎 俊也<sup>3,4,5</sup>、日野 照純<sup>1</sup>

【序】単層カーボンナノチューブ(SWCNT)内にフラーレンを内包したピー・ポッドは、SWCNTと内包フラーレンとの相互作用によってSWCNTとは異なった物性を示す。例えば、内包するフラーレンの種類によってp型、両極性、金属的といった様々な輸送特性を示す事が知られており、有力なナノエレクトロニクス材料として近年注目を集めている。特にC<sub>60</sub>ケージの炭素原子1つを窒素で置換したC<sub>59</sub>Nを内包したものは現在のところn型の輸送特性を示す唯一のピー・ポッドであり[1]、電子供与性の強いC<sub>59</sub>NからSWCNTへの電荷移動が起こっていると考えられている。C<sub>59</sub>Nは反応性が高く、N原子に再近接の炭素原子C'を介して他の炭素原子と容易に結合を作る事が知られており、単体では二量体の状態で安定化する[2]。今回我々はSWCNT、C<sub>60</sub>ピー・ポッド(C<sub>60</sub>@SWCNT)、C<sub>59</sub>Nピー・ポッド(C<sub>59</sub>N@SWCNT)および(C<sub>59</sub>N)<sub>2</sub>の紫外光電子スペクトル(UPS)測定を行ったのでその結果について報告する。

【実験】UPS測定はHe光源とVG SCIENTA社の電子エネルギー分析器SES100を用い、全て室温において行った。結合エネルギーは真空蒸着した金の薄膜のフェルミエッジを基準にしている。清浄表面を得るために、測定前にSWCNT、C<sub>60</sub>@SWCNT、C<sub>59</sub>N@SWCNT試料は超高真空中で200度で数時間加熱した。(C<sub>59</sub>N)<sub>2</sub>試料については、まず銅の基盤上に金の薄膜を真空蒸着し、その上に(C<sub>59</sub>N)<sub>2</sub>を真空蒸着してin situで測定した。

【結果と考察】図1にSWCNTとC<sub>60</sub>@SWCNTのUPSを示す。SWCNTのUPSと比べて、C<sub>60</sub>@SWCNTではいくつかの新たなピークが見られた(図中矢印)。内包されたC<sub>60</sub>(C<sub>60</sub> Pea)の電子状態を得る

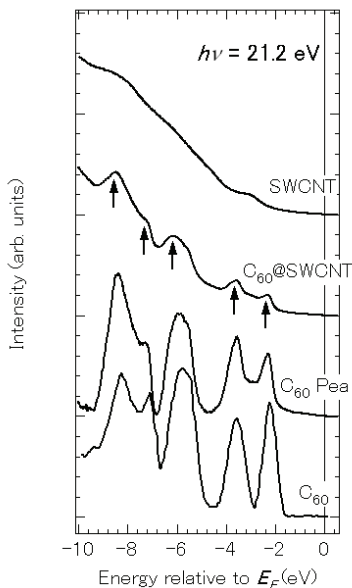


図1: SWCNT、C<sub>60</sub>@SWCNT、C<sub>60</sub>[3]のUPSおよび、差から得られた内包C<sub>60</sub>のスペクトル。

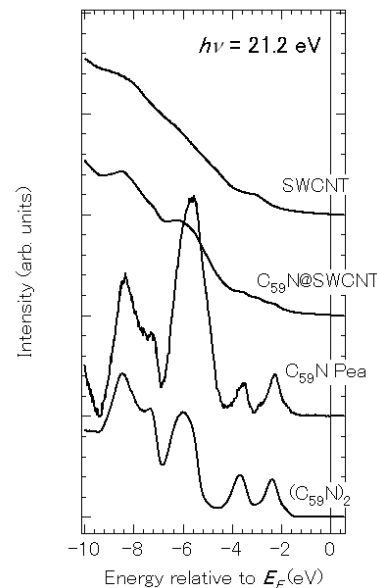


図2: SWCNT、C<sub>59</sub>N@SWCNT、(C<sub>59</sub>N)<sub>2</sub>のUPSおよび、差から得られた内包C<sub>59</sub>Nのスペクトル。

ため、二次電子のバックグラウンドを引いた[3]後の $C_{60}$ @SWCNTとSWCNTの差スペクトルを図1に示す。この差スペクトルは過去に報告されている $C_{60}$  Peaのスペクトル[4]と同様に、 $C_{60}$ 薄膜のUPS [5]と比較してピーク位置やピーク幅に殆ど差は見られなかった。

SWCNT、 $C_{59}N$ @SWCNT、 $(C_{59}N)_2$ のUPSを図2に示す。 $C_{60}$ @SWCNTの場合と同様にして得られた $C_{59}N$  Peaのスペクトルも併せて示してある。 $C_{59}N$  Peaのスペクトルは $(C_{59}N)_2$ のUPSと比較して-6 eV にあるピークの幅が広くなつており強度も高いが、このエネルギーは表面が清浄でない場合に酸素の2pのピークが現れるところであり、この違いが本質的なものかどうかは更に検討する必要がある。その他のピーク位置は全体的に0. 1 eV ほど低結合エネルギー側にシフトしており、ピーク幅には大きな変化は見られなかった。

図3は $C_{60}$  Pea、 $C_{60}$ 、 $C_{59}N$  Peaおよび $(C_{59}N)_2$ のスペクトルの $E_F$ 近傍の拡大図である。ピークB、Cはそれぞれ $C_{60}$ のHOMOおよびnext-HOMOであり、肩構造AはN2pの性格を強く持ち、C'付近に局在した $(C_{59}N)_2$ のHOMOである[5]。 $C_{59}N$  PeaのピークB、Cの位置は $C_{60}$ と同じであるが、 $(C_{59}N)_2$ では $C_{60}$ に対して0. 1 eV ほど高結合エネルギー側にシフトしていた。 $(C_{59}N)_2$ ではN原子の持つ余分な電荷により電子ドープされ、試料の仕事関数が $C_{60}$ と比べて変化したためピーク位置がシフトしたが、 $C_{59}N$ @SWCNTでは $C_{59}N$ からSWCNTへの電荷移動が起こって $C_{60}$ と同じピーク位置に戻ったと考えられる。このシフト以外は $(C_{59}N)_2$ と $C_{59}N$  Peaのスペクトルは殆ど同じであった。

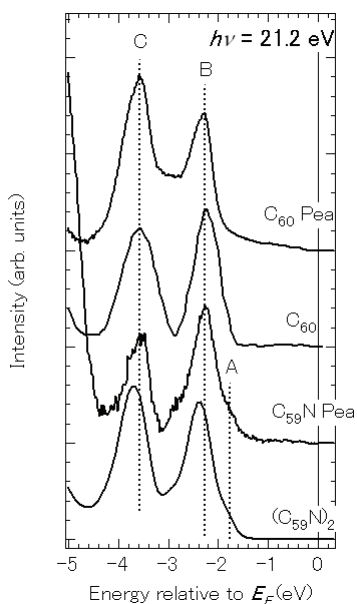


図3: 図 1、図2に示した $C_{60}$ 、 $C_{60}$  Pea、 $(C_{59}N)_2$ 、 $C_{59}N$  Peaのスペクトルの拡大図

- [1] T. Kaneko *et al.*, J. Am. Chem. Soc. **130**, 2714 (2008).
- [2] J. C. Hummelen *et al.*, Science **269**, 1554 (1995).
- [3] X. Li *et al.*, J. Electro. Spectrosc. Relat. Phenom. **63**, 253 (1993).
- [4] H. Shiozawa *et al.*, Phys. Rev. B **73**, 075406 (2006).
- [5] T. Pichler *et al.*, Phys. Rev. Lett. **78**, 4249 (1997).